



Nano Malzemeler Karakterizasyon Yöntemleri

Nanomalzemelerin Karakterizasyonu

Teknik	Karakterizasyon Parametreleri
Dinamik ışık saçılımı (DLS)/parçacık boyut analizi	Sıvı ortam içerisinde dağıtılmış nanoparçacıkların boyutu ve boyut dağılımlarının belirlenmesi
Zeta potansiyel analizi	Sıvı ortam içerisinde dağıtılmış nanoparçacıkların yüzey yüklerinin belirlenmesi
Taramalı elektron mikroskobu (SEM)	Morfoloji ve yüzey analizi
Geçirimli elektron mikroskobu (TEM)	Boyut, şekil, morfoloji, iç yapı gibi analizler
Atomik kuvvet mikroskobu (AFM)	Şekil ve yüzey morfoloji analizi
Taramalı tünelleme mikroskobu (STM)	Atomik boyutta yüzey analizi ve modifikasyonu
Lazer taramalı eş odaklı mikroskop (LSCM)	Özellikle biyolojik malzemelerde 3boyutlu morfolojik analiz
Brunauer-Emmett-Teller (BET) tekniği	Yüzey alanı, gözeneklilik boyutu ve dağılımı, adsorplama kapasiteleri
X-Işını Kırınımı (XRD)	Kristal yapı ve faz analizi, ortalama kristalit boyutu
X-Işını fotoelektron spektroskopisi (XPS)	Elementel ve kimyasal bağlar hakkında bilgiler ile yüzeyden kimyasal kompozisyon analizi
Fourier dönüşüm infrared spektroskopisi (FTIR)	Kimyasal kompozisyon analizi
Diferansiyel taramalı kalorimetre (DSC)	Termal analiz ve faz dönüşüm

Görüntüleme Teknikleri

Elektron mikroskopları

- Taramalı elektron mikroskobu (SEM)
- Geçirimli elektron mikroskobu (TEM)

Taramalı uç mikroskopları (scanning probe microscopy)

- Atomik kuvvet mikroskobu
- Taramalı tünelleme mikroskobu

Elektron Mikroskopları

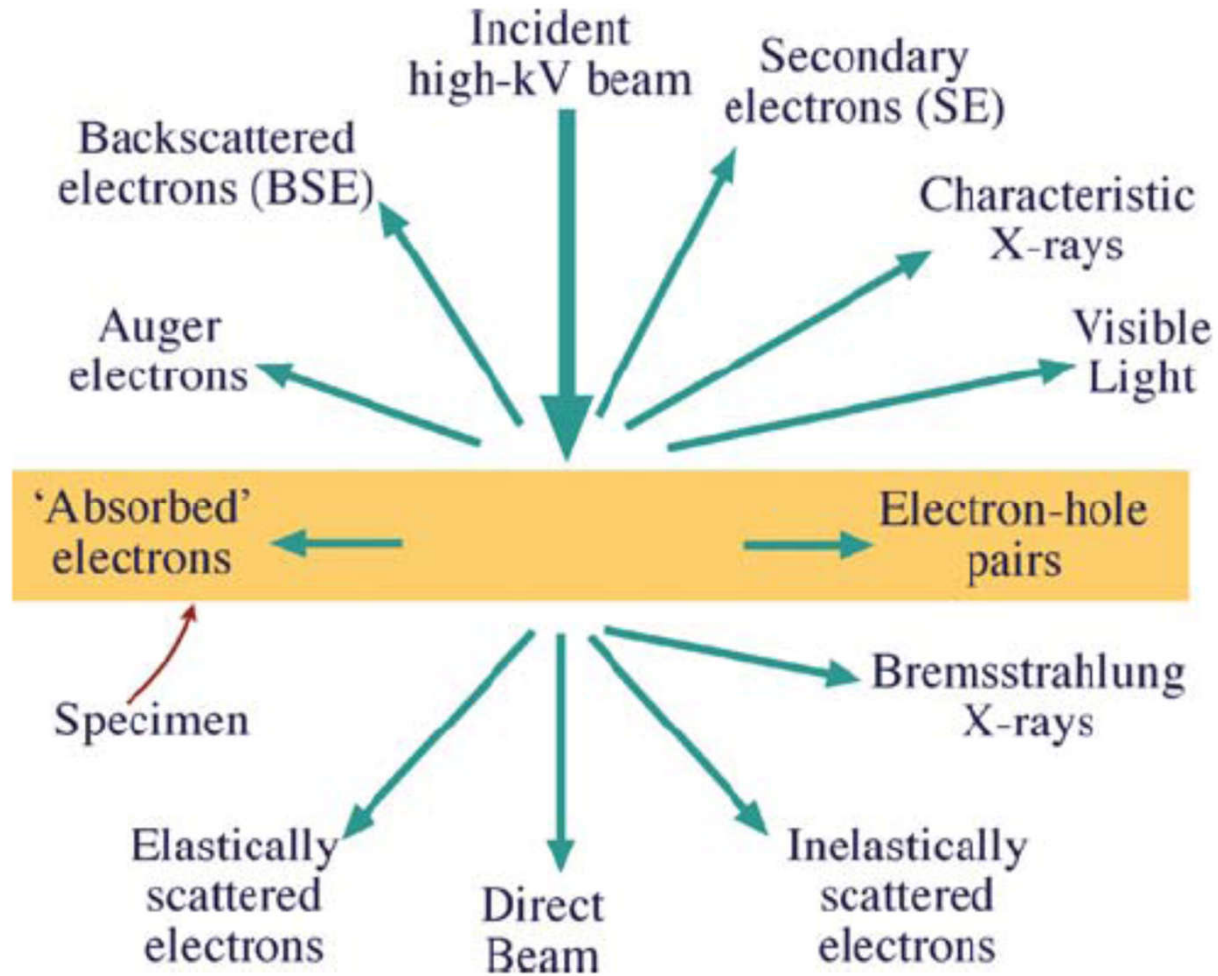
TABLE 1.1 Fundamental Constants and Definitions

Charge (e)	$(-) 1.602 \times 10^{-19} \text{ C}$
1 eV	$1.602 \times 10^{-19} \text{ J}$
Rest mass (m_0)	$9.109 \times 10^{-31} \text{ kg}$
Rest energy (m_0c^2)	511 keV
Kinetic energy (charge \times voltage)	$1.602 \times 10^{-19} \text{ N m}$ (for 1 volt potential) = J
Planck's constant (h)	$6.626 \times 10^{-34} \text{ N m s}$
1 A	1 C/s
Speed of light in vacuum (c)	$2.998 \times 10^8 \text{ m/s}$

TABLE 1.2 Electron Properties as a Function of Accelerating Voltage

Accelerating voltage (kV)	Non-relativistic wavelength (nm)	Relativistic wavelength (nm)	Mass ($\times m_0$)	Velocity ($\times 10^8 \text{ m/s}$)
100	0.00386	0.00370	1.196	1.644
120	0.00352	0.00335	1.235	1.759
200	0.00273	0.00251	1.391	2.086
300	0.00223	0.00197	1.587	2.330
400	0.00193	0.00164	1.783	2.484
1000	0.00122	0.00087	2.957	2.823

Elektron Mikroskopları



Elektron Mikroskopları

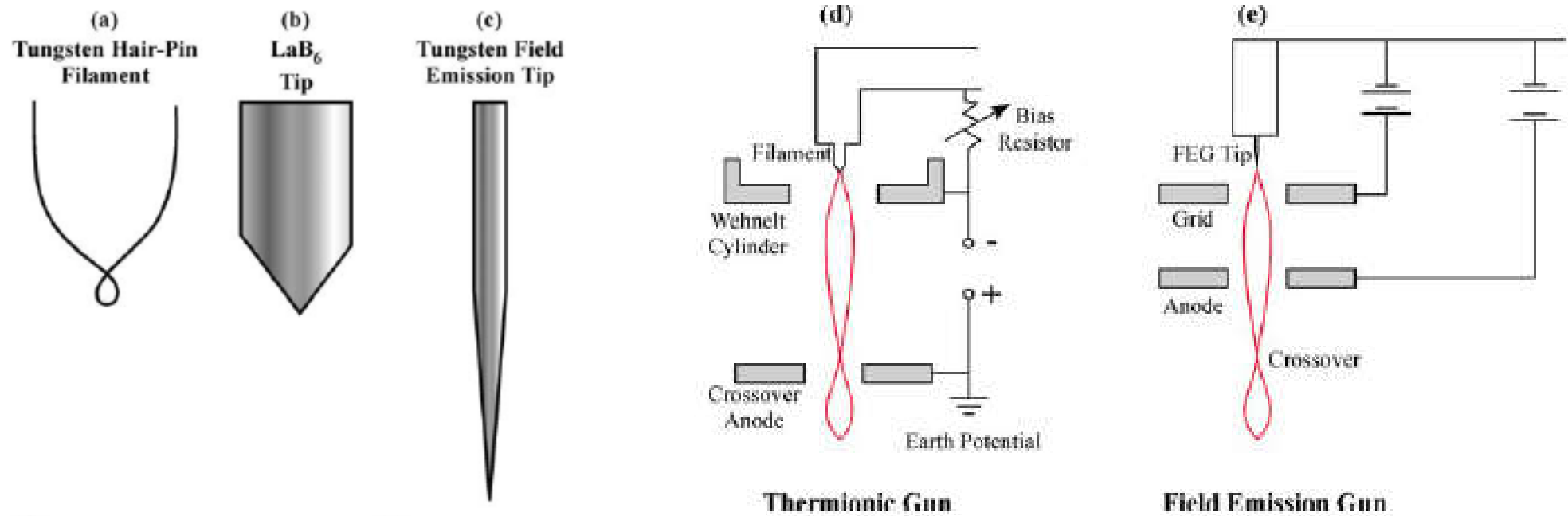


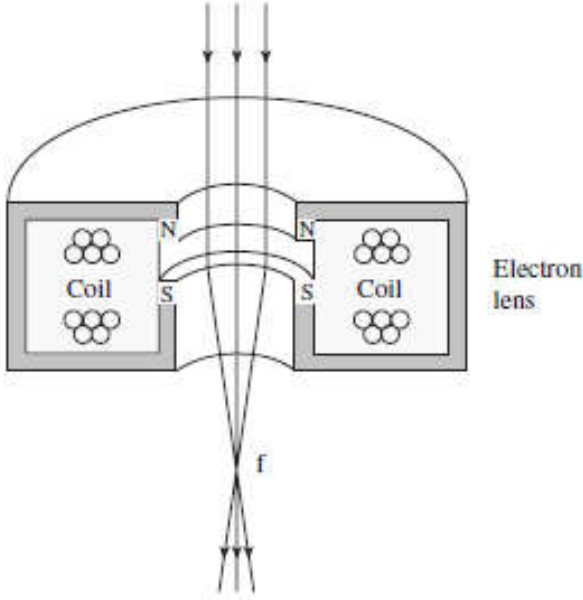
Table 3.3 Comparison of Electron Guns

	Tungsten filament	LaB ₆	Field emission	
			Thermal	Cold
Operation temperature (K)	~2800	~1800	1600 ~ 1800	~300
Brightness ^a At 200 kV (A cm ⁻² sr)	~5 × 10 ⁵	~5 × 10 ⁶	~5 × 10 ⁸	~5 × 10 ⁸
Requirement to vacuum (Torr ^b)	10 ⁻⁴	10 ⁻⁶ -10 ⁻⁷	10 ⁻⁹	10 ⁻⁹ -10 ⁻¹⁰

^a Intensity emitted per unit cathode surface in unit solid angle.

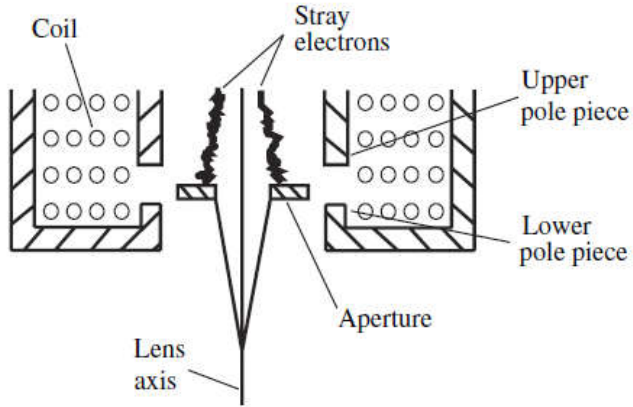
^b 1 torr = 133 Pa.

Elektron Mikroskopları



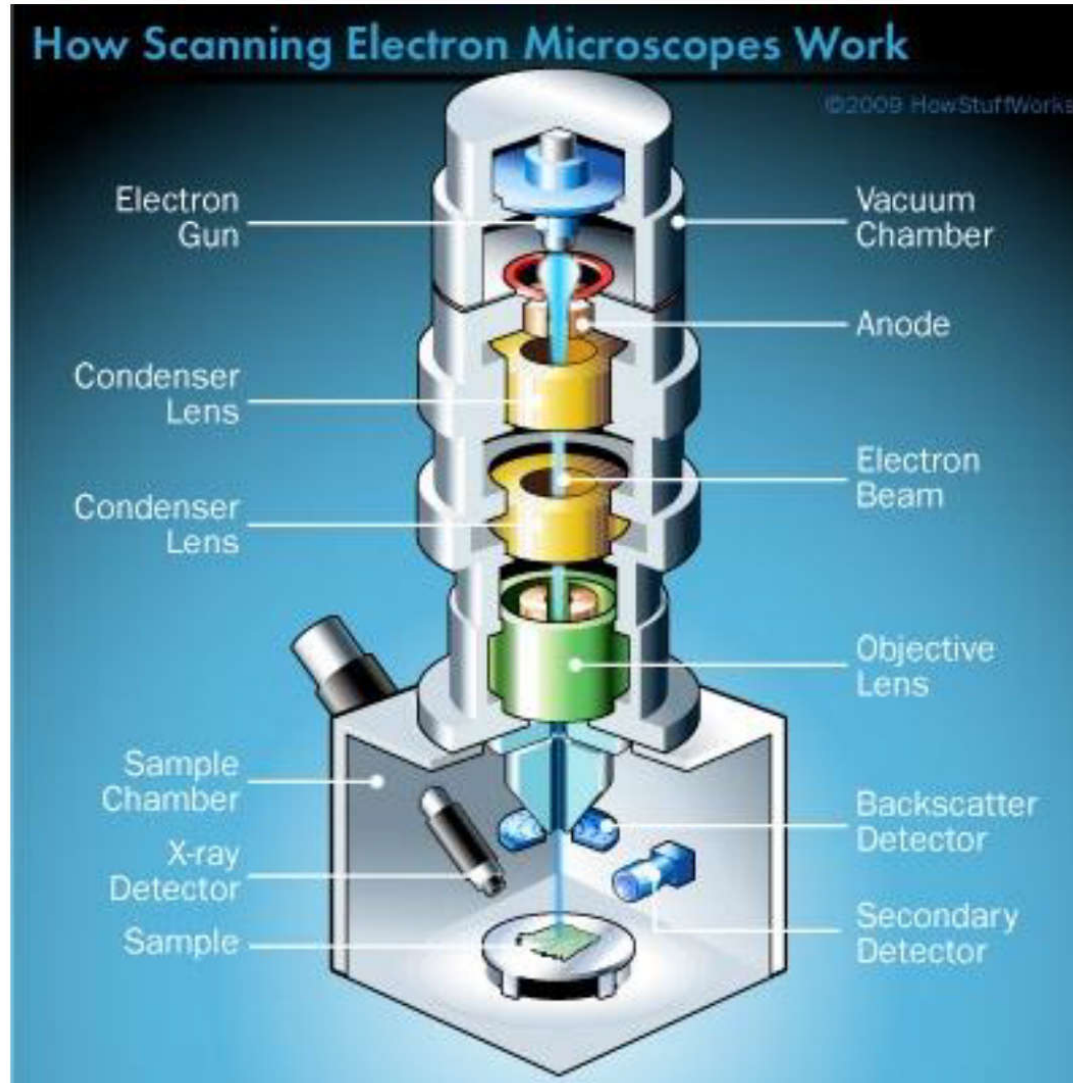
Optik mikroskoplarda cam lensler kullanılırken, elektron mikroskoplarında elektromanyetik lensler kullanılır.

N ve S kutupları ile bir açıklıktan oluşan bu lens sisteminde oluşturulan güçlü manyetik alan ile elektronlar kontrol edilir. Manyetik alanın elektrik akımını değiştirerek kolaylıkla kontrol edilebilmesi sayesinde, bir elektromanyetik lensin büyütme gücü lensten geçen akımı değiştirerek kontrol edilebilir. Cam lenslerde böyle bir özgürlük yok.

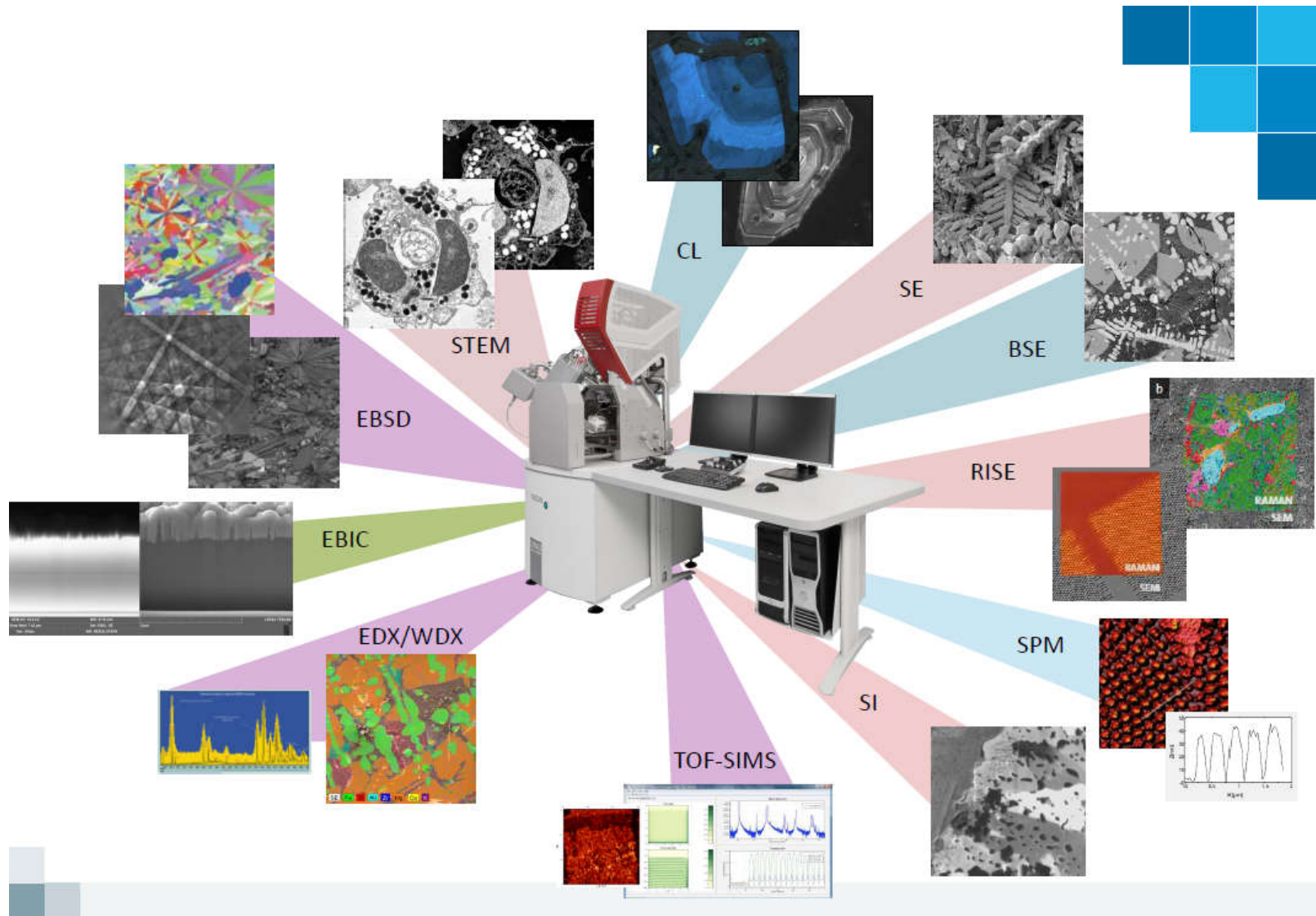


Elektron mikroskoplarında 'aperture' lensin içerisine yerleştirilmiş dairesel bir metal bloğudur. Bu açıdan optik mikroskopa benzerlik gösterir.

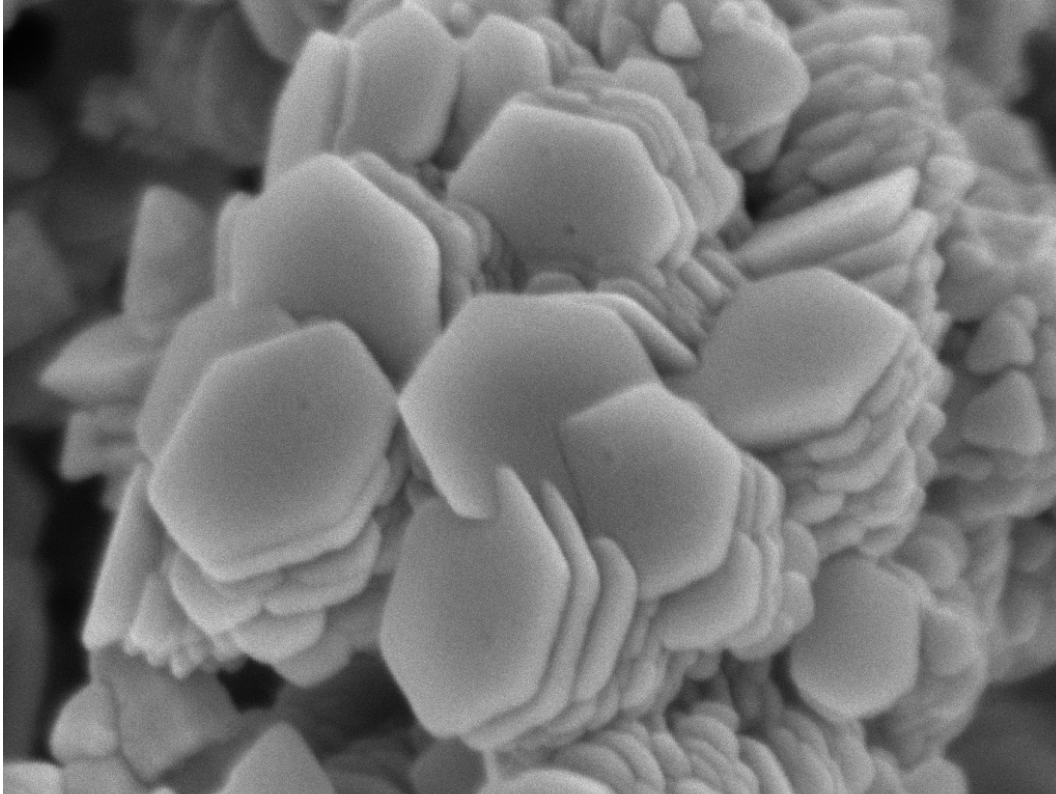
Taramalı Elektron Mikroskopları (SEM)



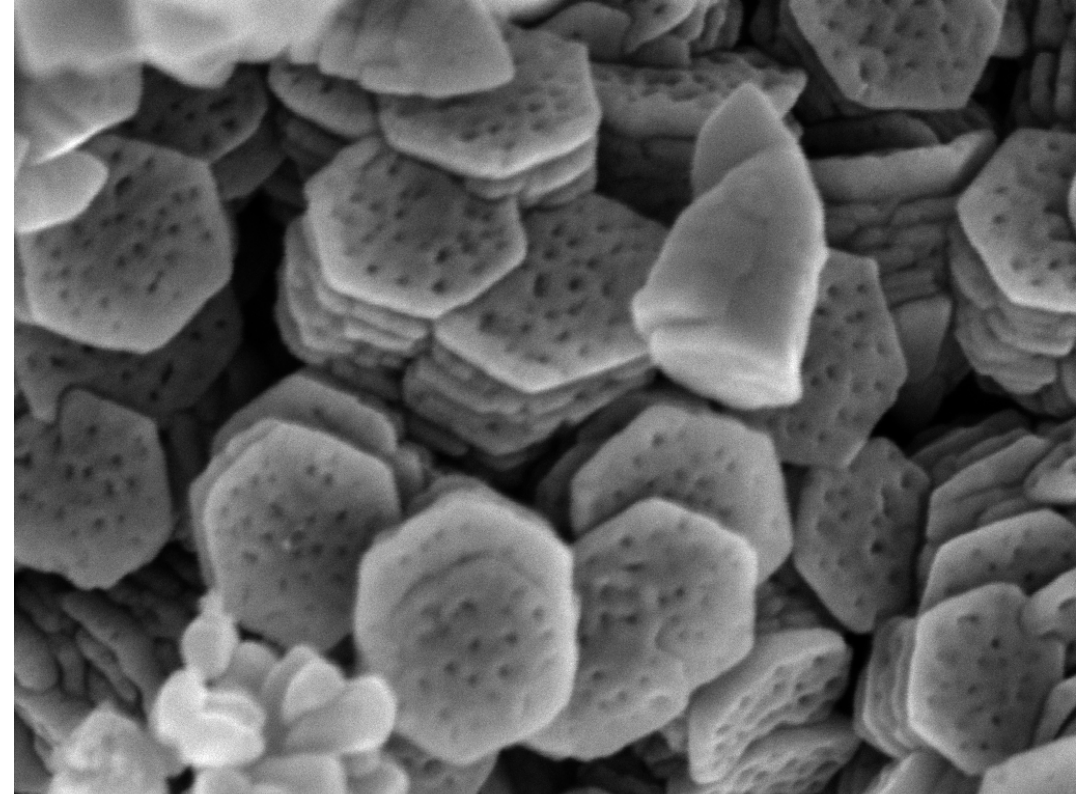
Taramalı Elektron Mikroskopları (SEM)



Taramalı Elektron Mikroskopları (SEM)

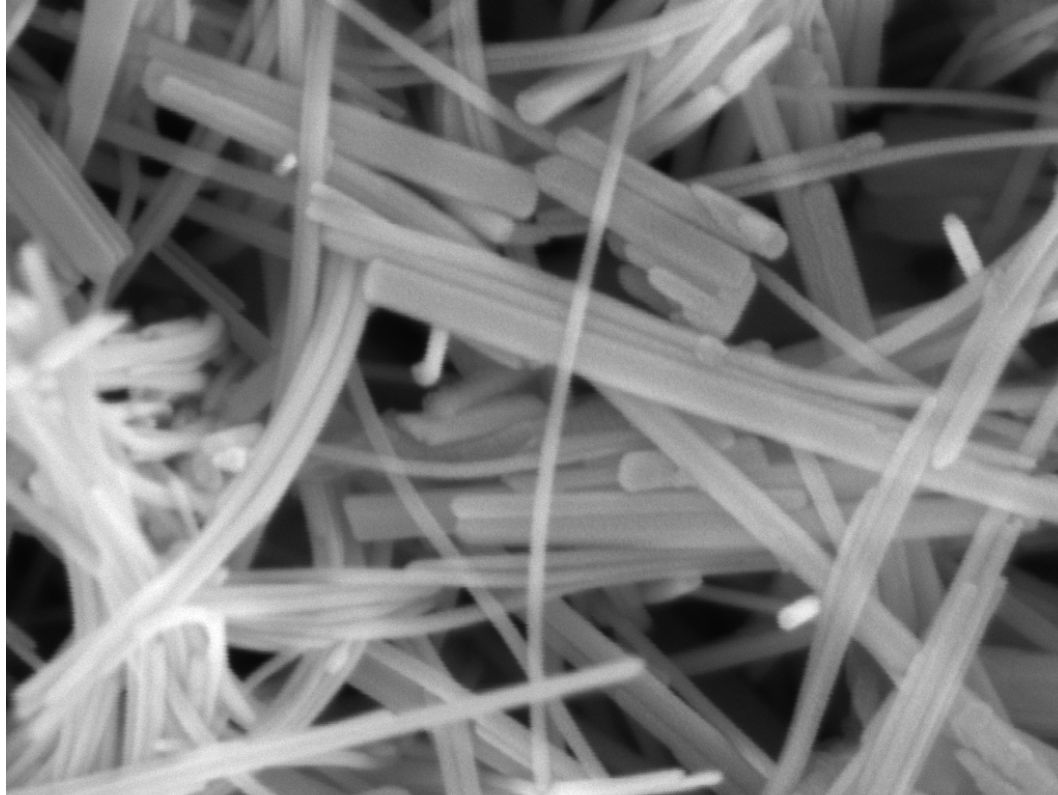


SEM HV: 5.0 kV	WD: 5.68 mm		MAIA3 TESCAN
SEM MAG: 200 kx	Det: InBeam	200 nm	BARTIN UNIVERSITY
View field: 1.38 μ m	Date(m/d/y): 08/08/17		



SEM HV: 5.0 kV	WD: 5.20 mm		MAIA3 TESCAN
SEM MAG: 200 kx	Det: InBeam	200 nm	BARTIN UNIVERSITY
View field: 1.38 μ m	Date(m/d/y): 08/02/17		

Taramalı Elektron Mikroskopları (SEM)

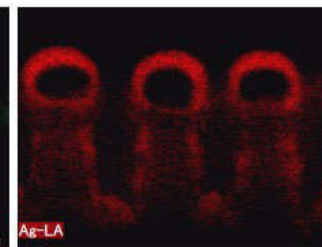
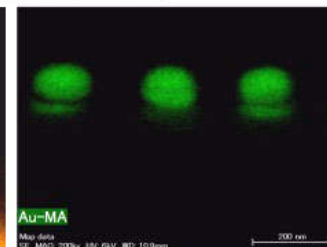
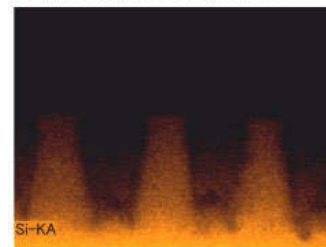
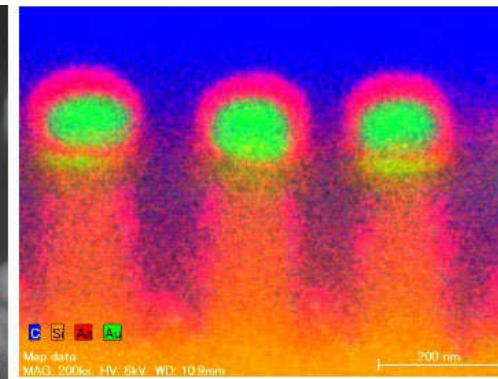
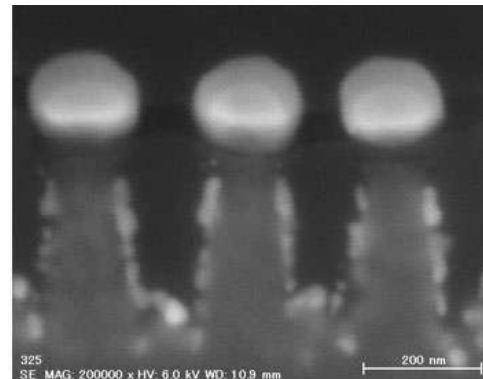
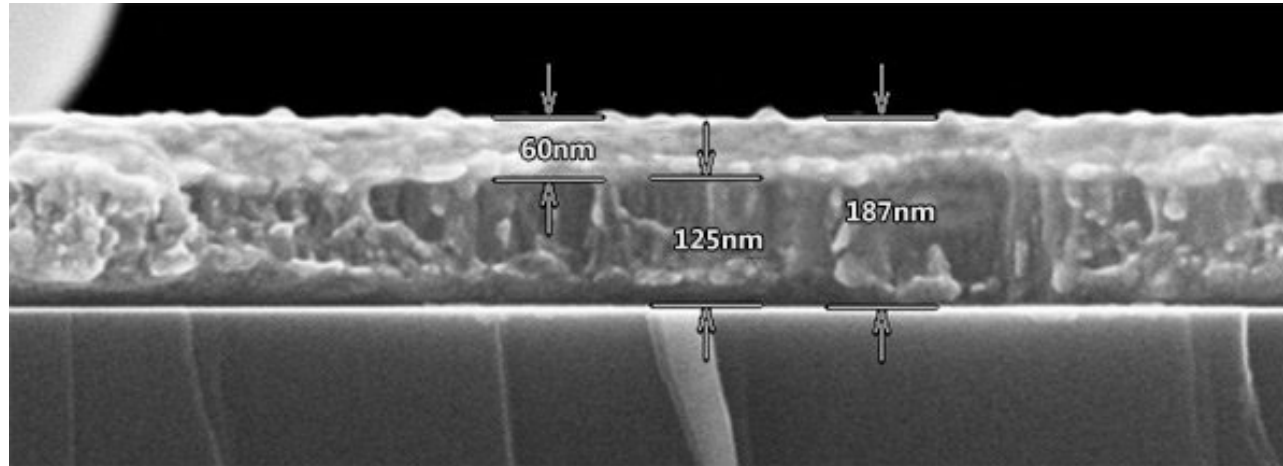


SEM HV: 5.0 kV	WD: 5.13 mm		MAIA3 TESCAN
SEM MAG: 250 kx	Det: InBeam	200 nm	
View field: 1.11 μ m	Date(m/d/y): 07/18/17		BARTIN UNIVERSITY

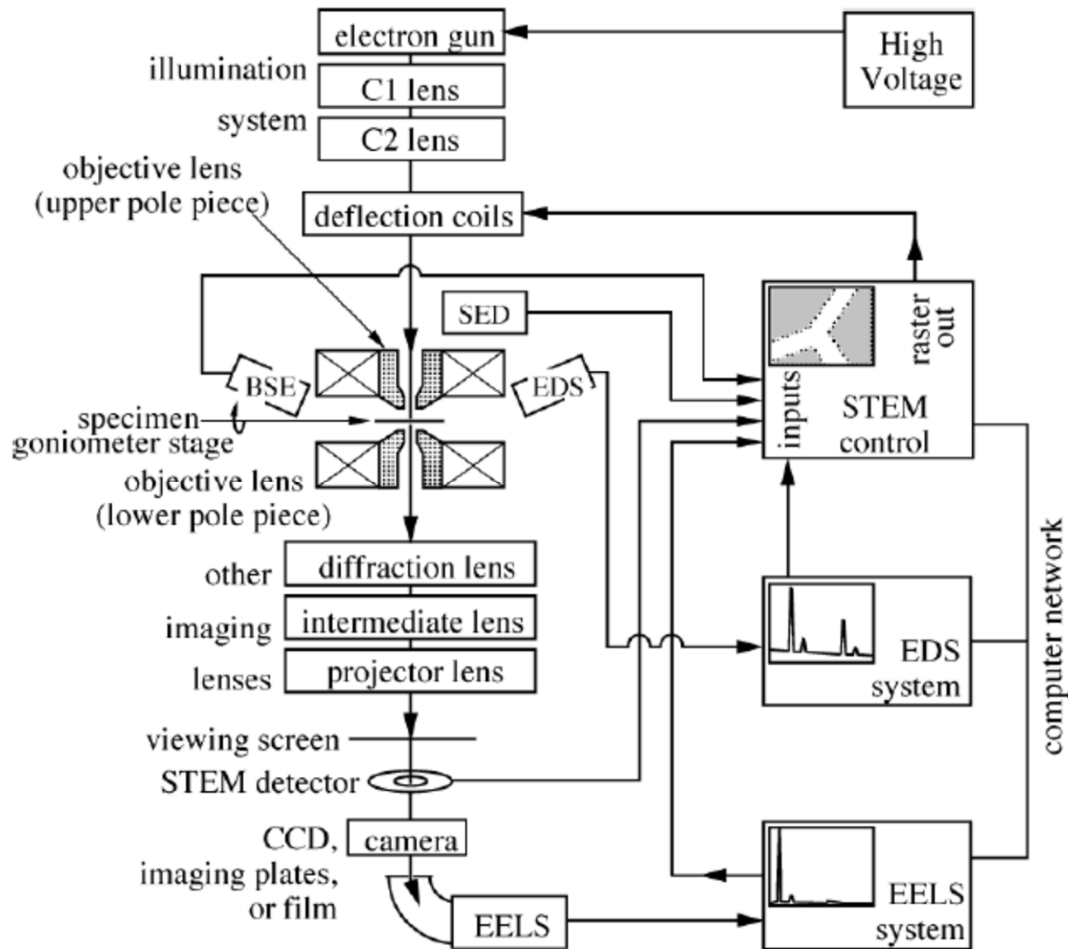


SEM HV: 5.0 kV	WD: 6.41 mm		MAIA3 TESCAN
SEM MAG: 50.0 kx	Det: InBeam	1 μ m	
View field: 5.54 μ m	Date(m/d/y): 08/22/17		BARTIN UNIVERSITY

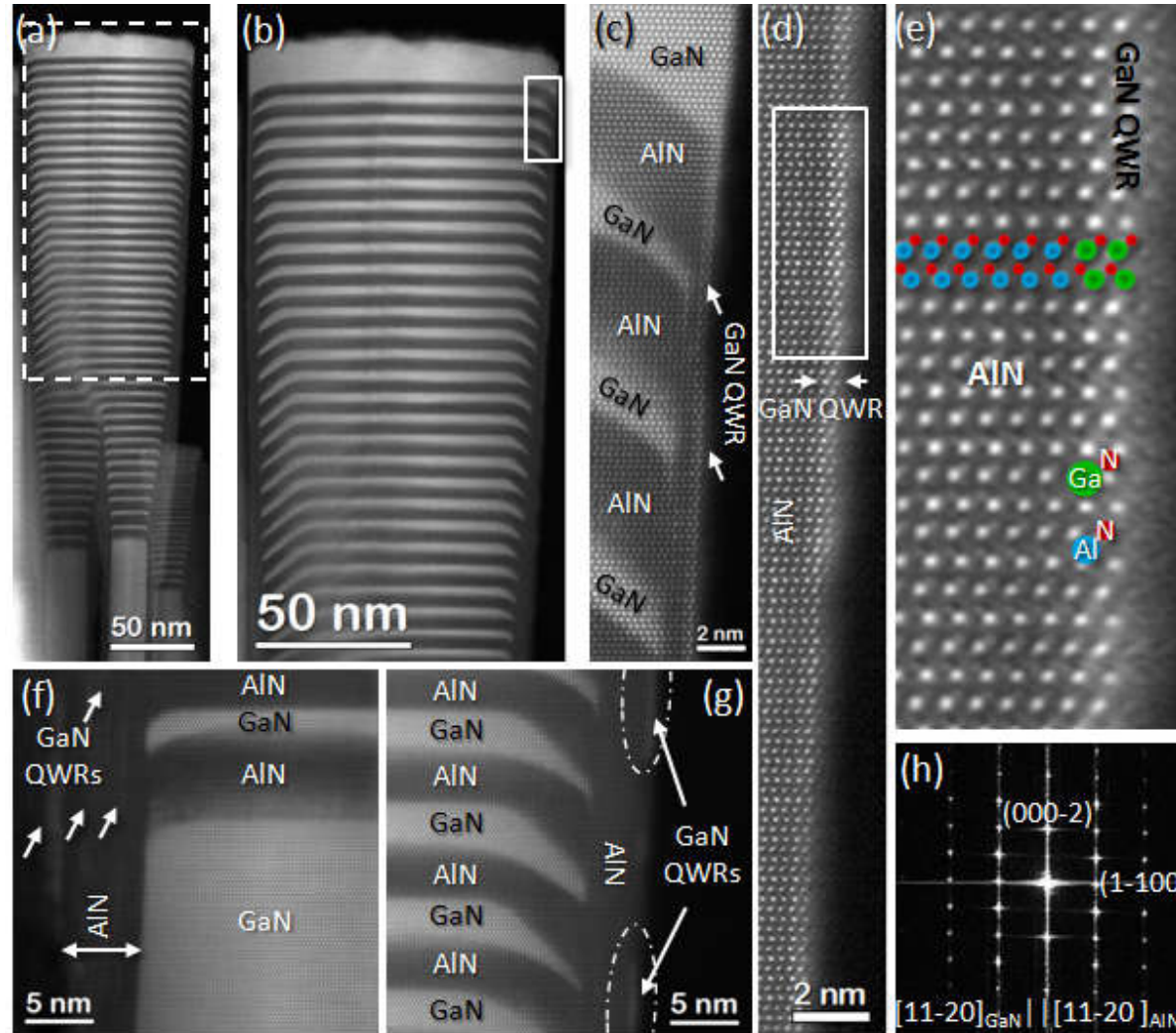
Taramalı Elektron Mikroskopları (SEM)



Geçirimli Elektron Mikroskopları (TEM)



Geçirimli Elektron Mikroskopları (TEM)

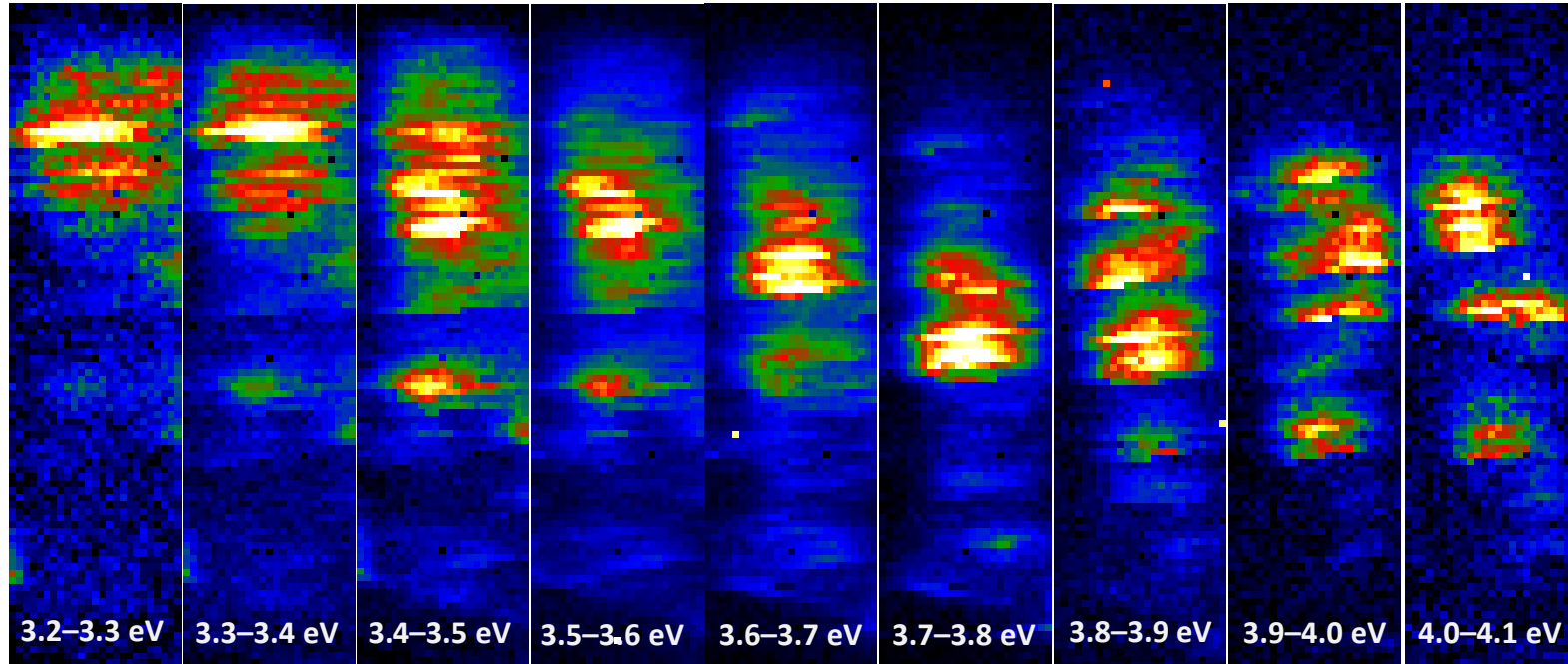


AlN-GaN Heteroyapıların Optik Özellikleri

Geçirimli Elektron Mikroskopları (TEM)

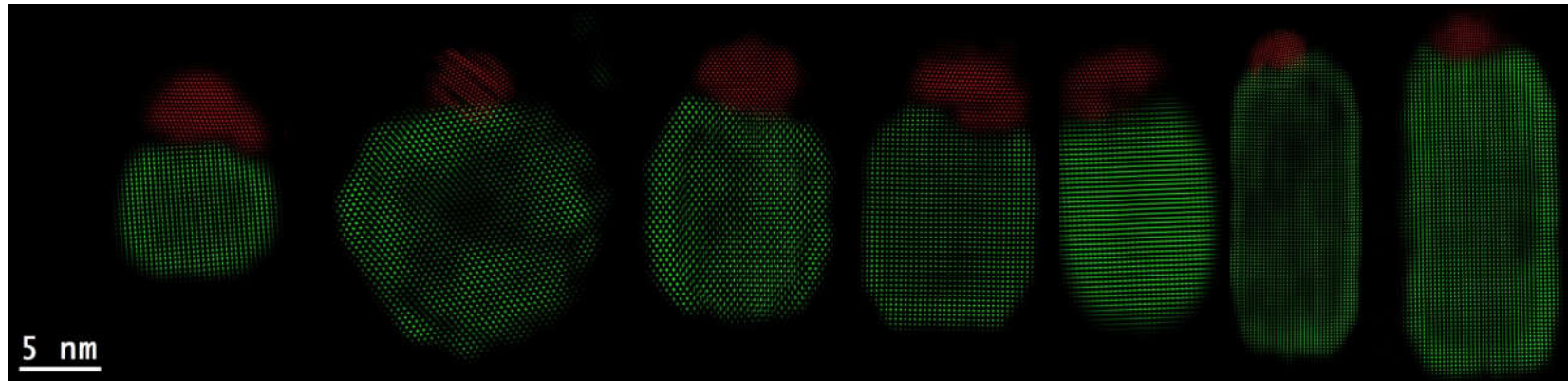
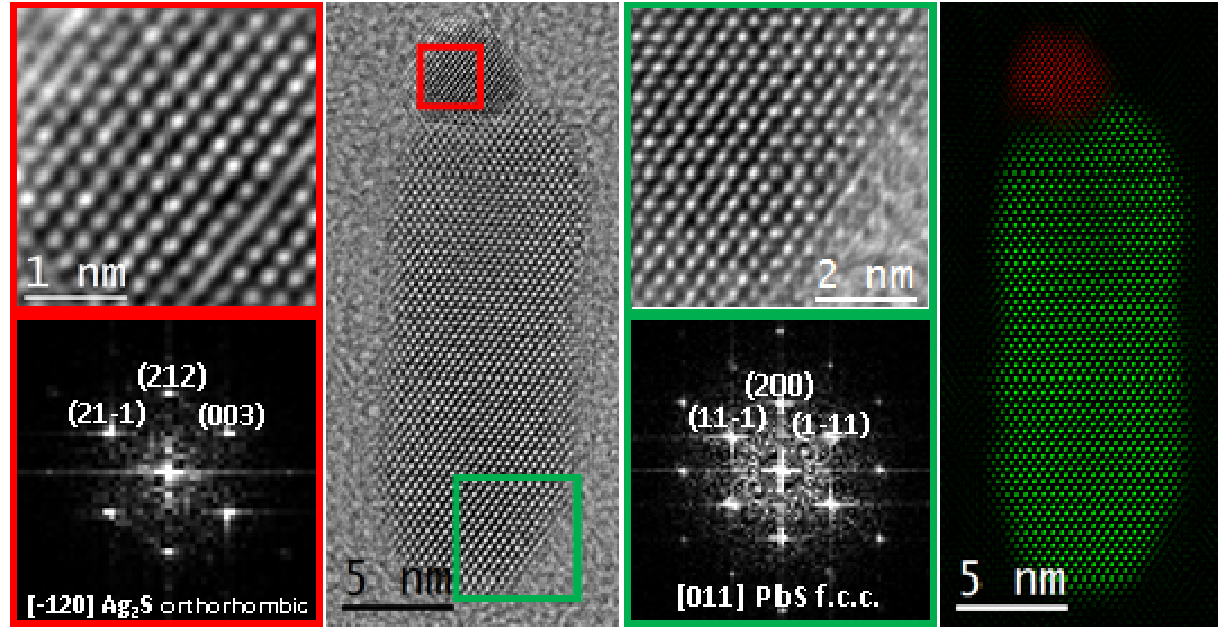
CL map with a pixel size of 3 nm

120 keV, Cryo



AlN-GaN Heteroyapıların Optik Özellikleri

Geçirimli Elektron Mikroskopları (TEM)



Termoelektrik uygulamalar için PbS – Ag₂S hibrit nanoyapıları

Geçirimli Elektron Mikroskopları (TEM)

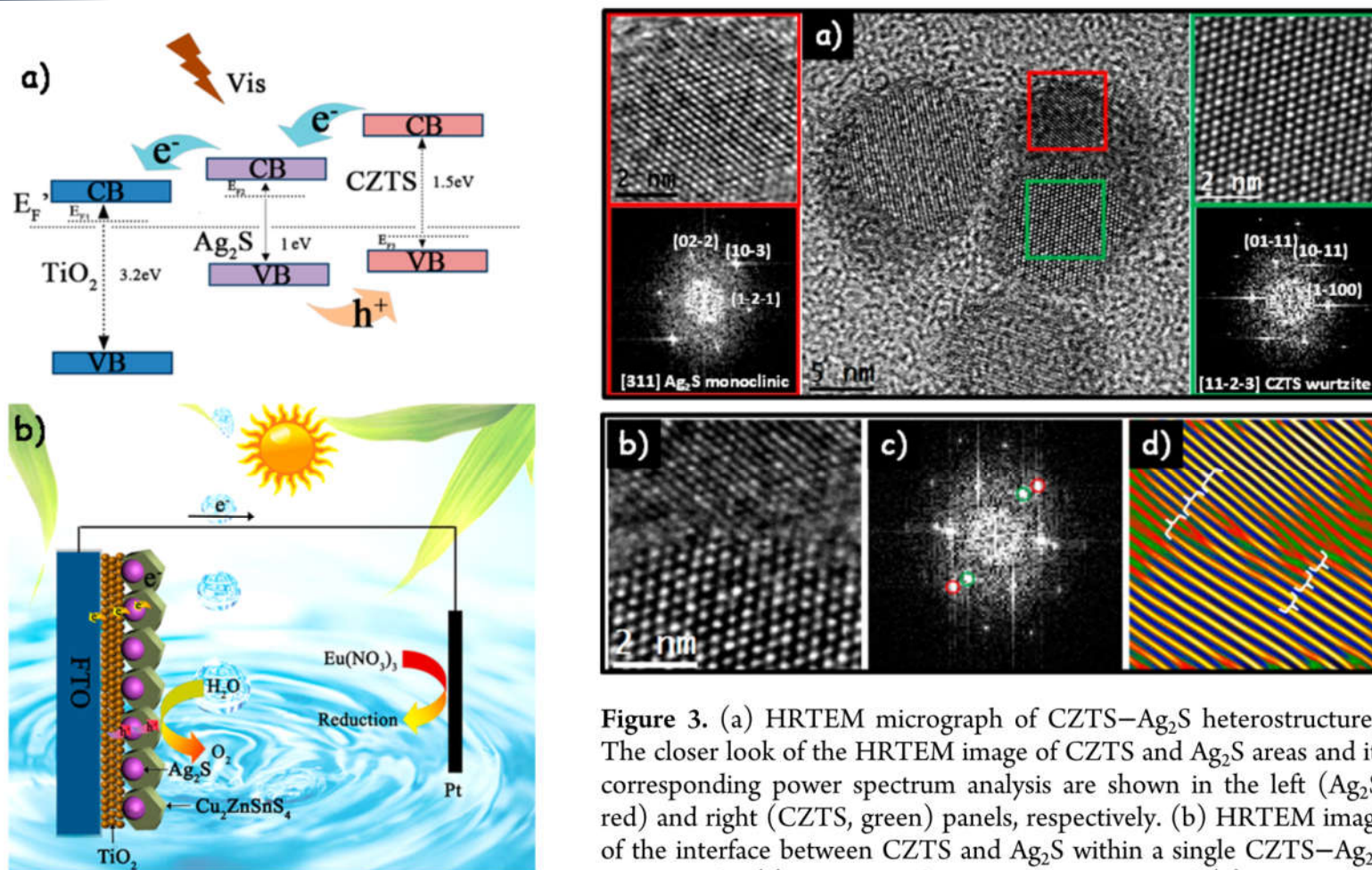


Figure 5. (a) Schematic of the energy band diagram of heterostructures and the possible model of electron transfer. (b) Schematic diagram of water splitting reaction in the photoelectrochemical cell.

Figure 3. (a) HRTEM micrograph of CZTS–Ag₂S heterostructures. The closer look of the HRTEM image of CZTS and Ag₂S areas and its corresponding power spectrum analysis are shown in the left (Ag₂S, red) and right (CZTS, green) panels, respectively. (b) HRTEM image of the interface between CZTS and Ag₂S within a single CZTS–Ag₂S nanoparticle. (c) Corresponding power spectrum and (d) inverse FFT of the circled diffraction spots showing the epitaxial relation.

DOI: 10.1021/acs.langmuir.5b02490

Langmuir 2015, 31, 10555–10561

Geçirimli Elektron Mikroskopları (TEM)

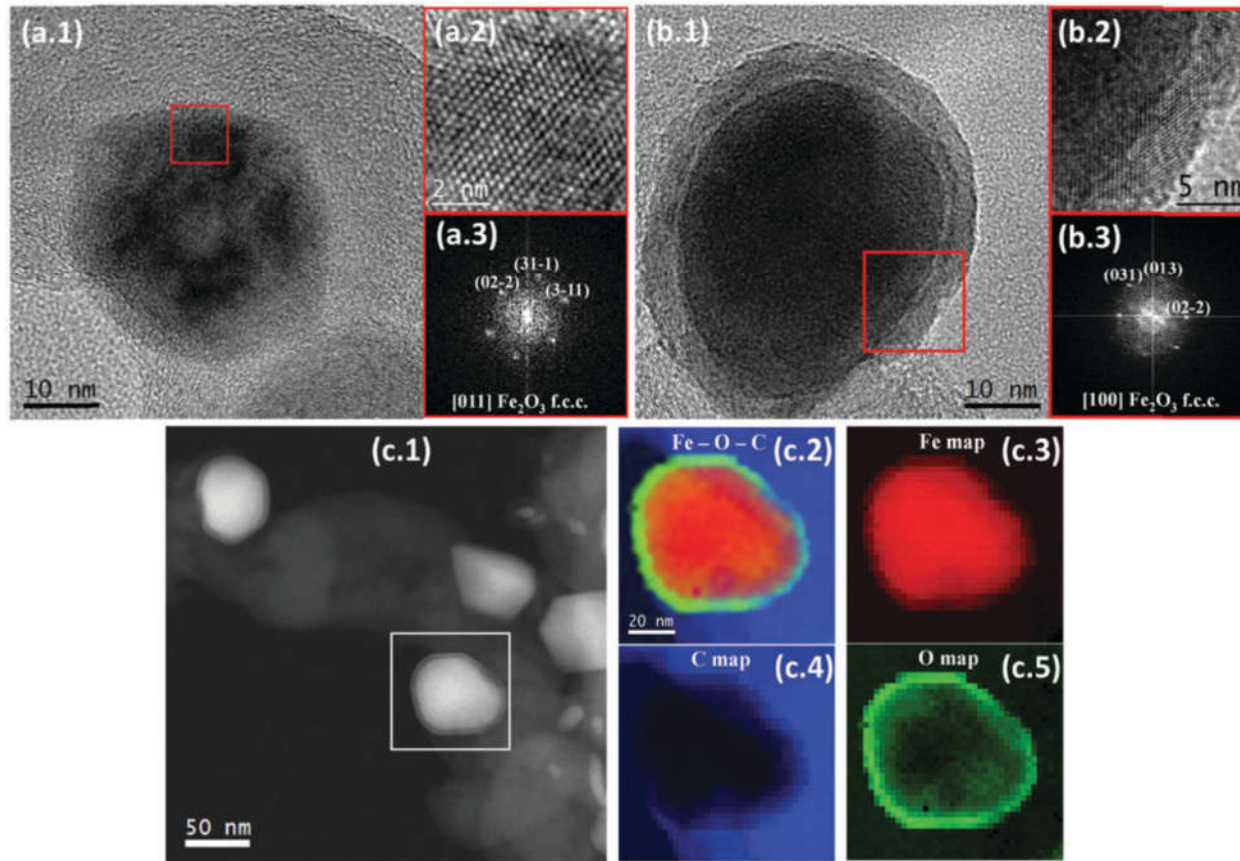
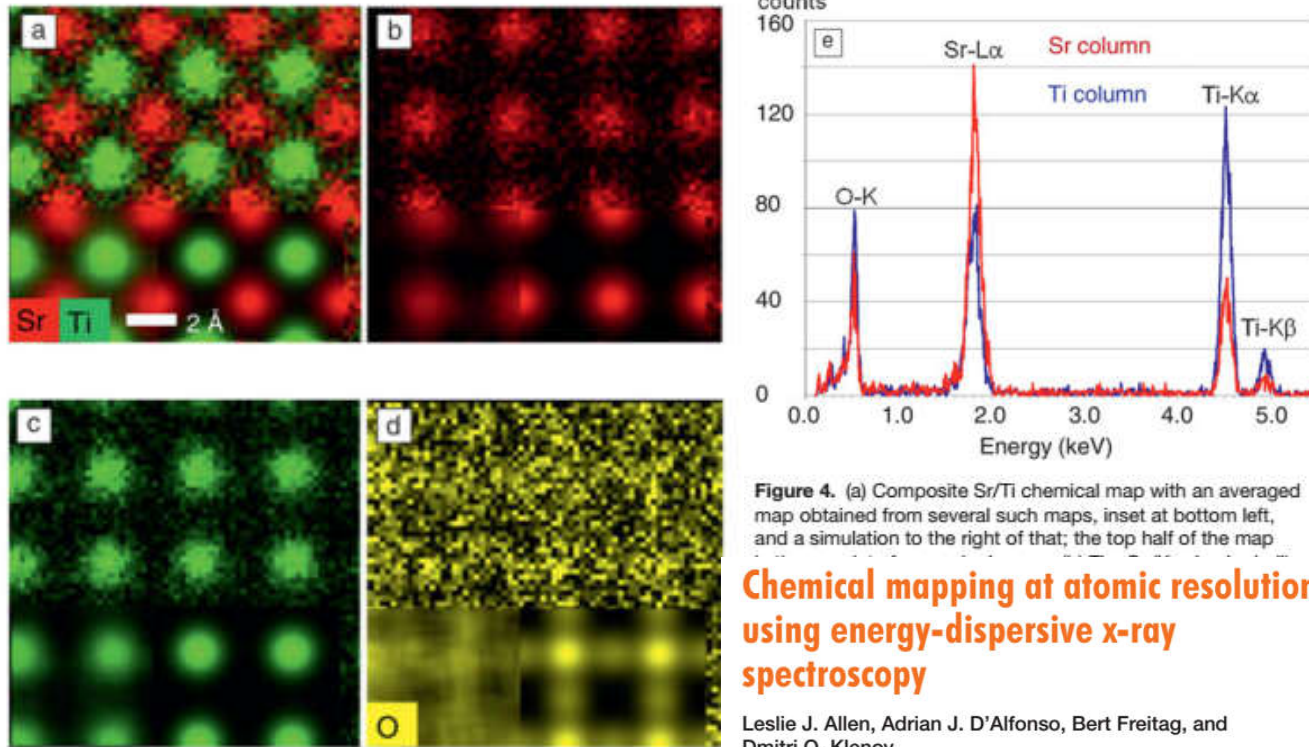
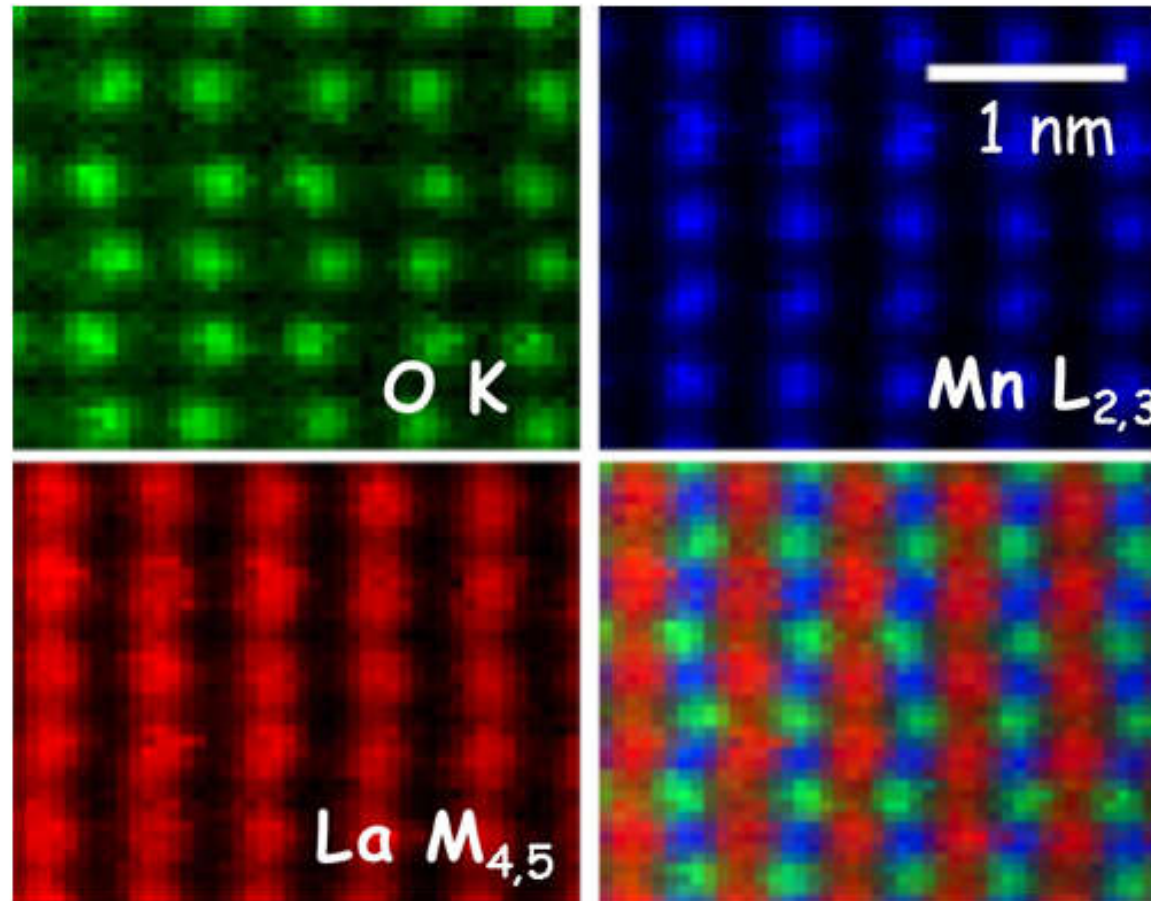


Fig. 2 (a) and (b) HRTEM micrographs of FeO_x(650)/C along with the power spectra (FFT) of the selected areas. (c) HAADF STEM of FeO_x(650)/C and EELS composition maps of the indicated area. Individual Fe (c.3 in red), C (c.4 in blue) and O (c.5 in green) maps along with (c.2) Fe-O-C.

Geçirimli Elektron Mikroskopları (TEM)

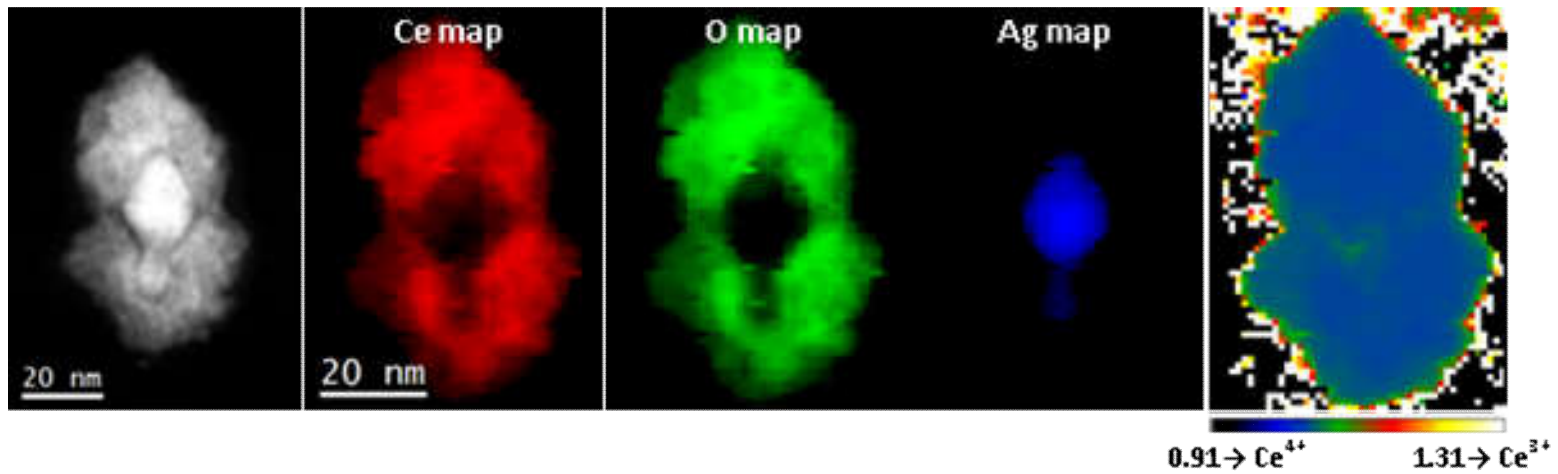
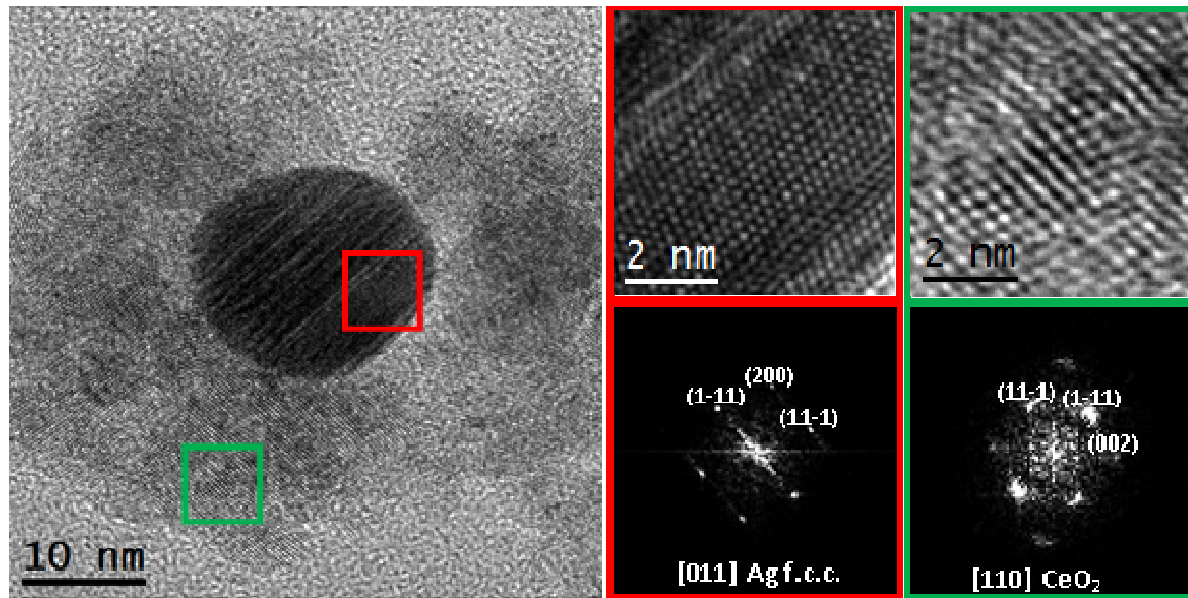


Geçirimli Elektron Mikroskopları (TEM)

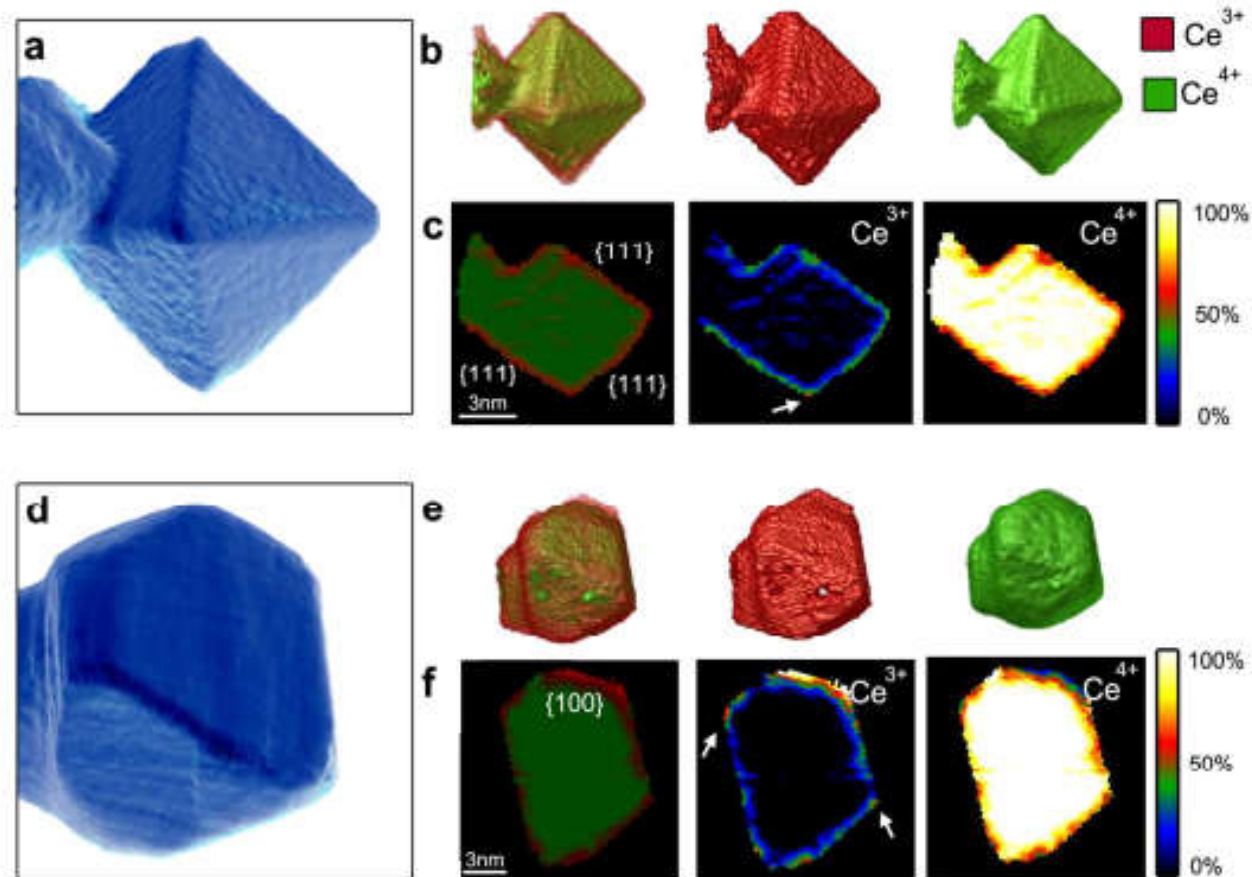


Spectroscopic images from a Nion UltraSTEM operating at 60kV that not only differentiate the elements in LaMnO₃, but also show clearly the octahedral rotations of the O sublattice. Data recorded by M. Varela and processed using Principle Component Analysis.

Geçirimli Elektron Mikroskopları (TEM)



Geçirimli Elektron Mikroskopları (TEM)



Three Dimensional Valency Mapping in Ceria Nanocrystals

Bart Goris, Stuart Turner, Sara Bals, and Gustaaf Van Tendeloo

Taramalı Tünelleme Mikroskobu (STM)

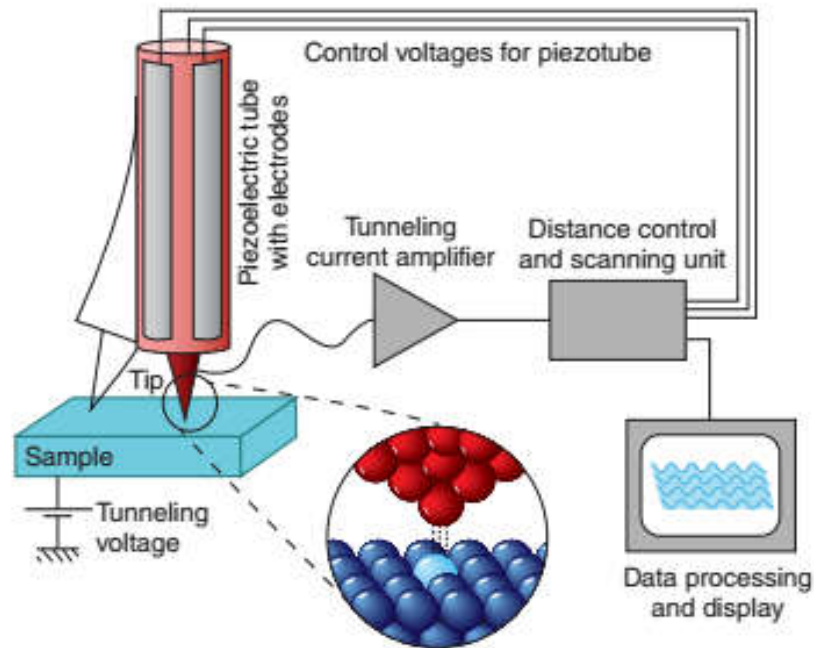


Figure 3.13 Essential components of an STM with a close-up view of the tunneling effect between tip of the probe and the surface atoms. http://en.wikipedia.org/wiki/Scanning_tunneling_microscope.

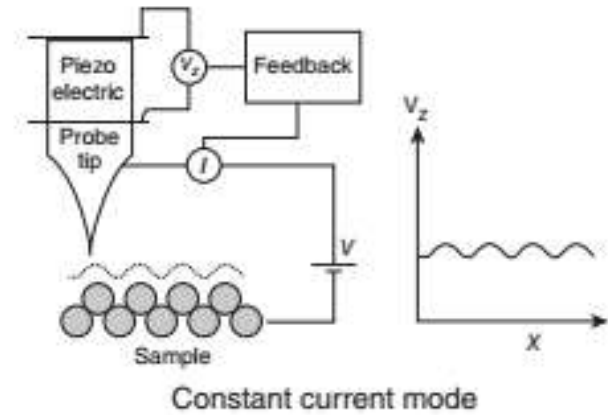
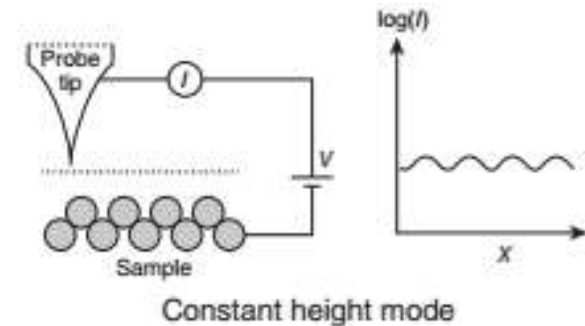


Figure 3.14 (a) Constant current and (b)



(b) constant height imaging modes of an STM.

Taramalı Tünelleme Mikroskobu (STM)

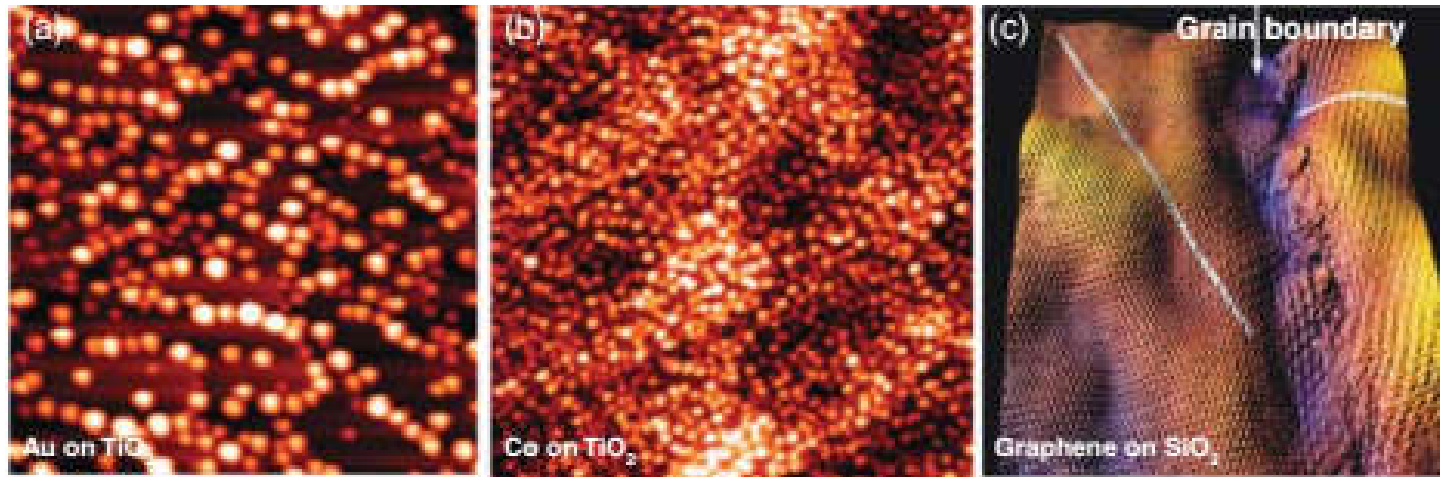
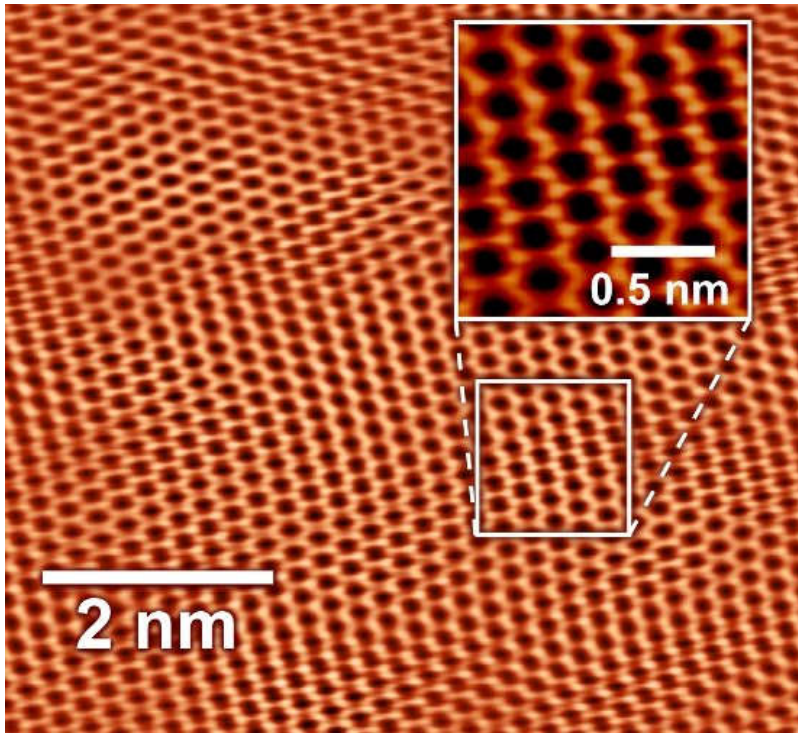
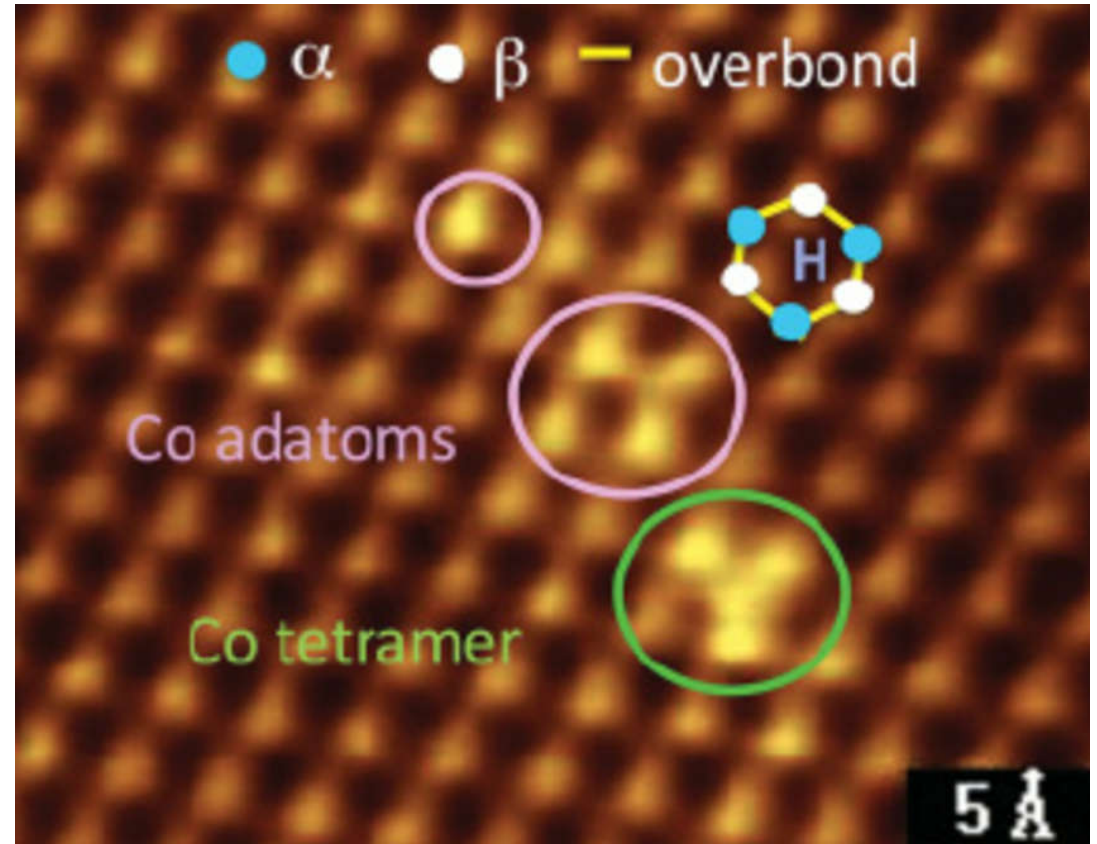


Figure 3.15 STM images of (a) nano-gold on TiO_2 . Galhenage et al. [17b], © 2013. With permission of ACS; (b) nano-cobalt on TiO_2 surface Galhenage et al. [17b], © 2013. With permission of ACS; (c) graphene on SiO_2 showing grain boundary. Koepke et al. [19], © 2013. With permission of ACS. (See color plate section for the color representation of this figure.)

Taramalı Tünelleme Mikroskobu (STM)



Grafit

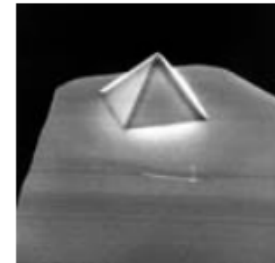
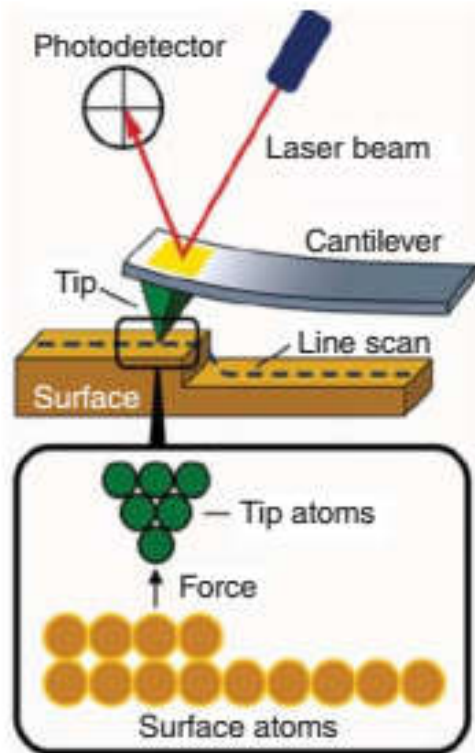


PHYSICAL REVIEW B 84, 054420 (2011)

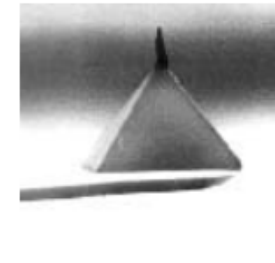
Growth mechanism and interface magnetic properties of Co nanostructures on graphite

P. K. J. Wong, M. P. de Jong, * L. Leonardus, M. H. Siekman, and W. G. van der Wiel

Atomik Kuvvet Mikroskobu (AFM)



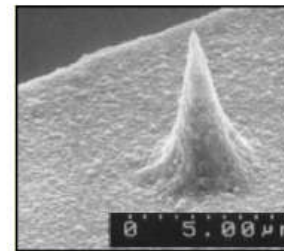
Normal Tip



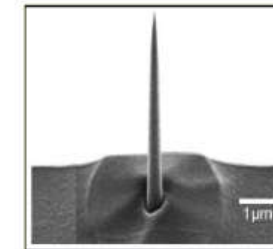
Supertip



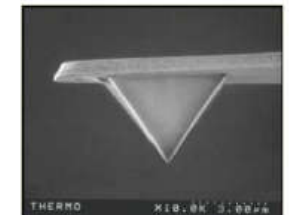
Ultralever



Diamond-coated tip



FIB-sharpened tip



Gold-coated Si_3N_4 tip

Figure 3.16 Schematic representation of AFM, Courtesy of Keysight Technologies.

Atomik Kuvvet Mikroskobu (AFM)

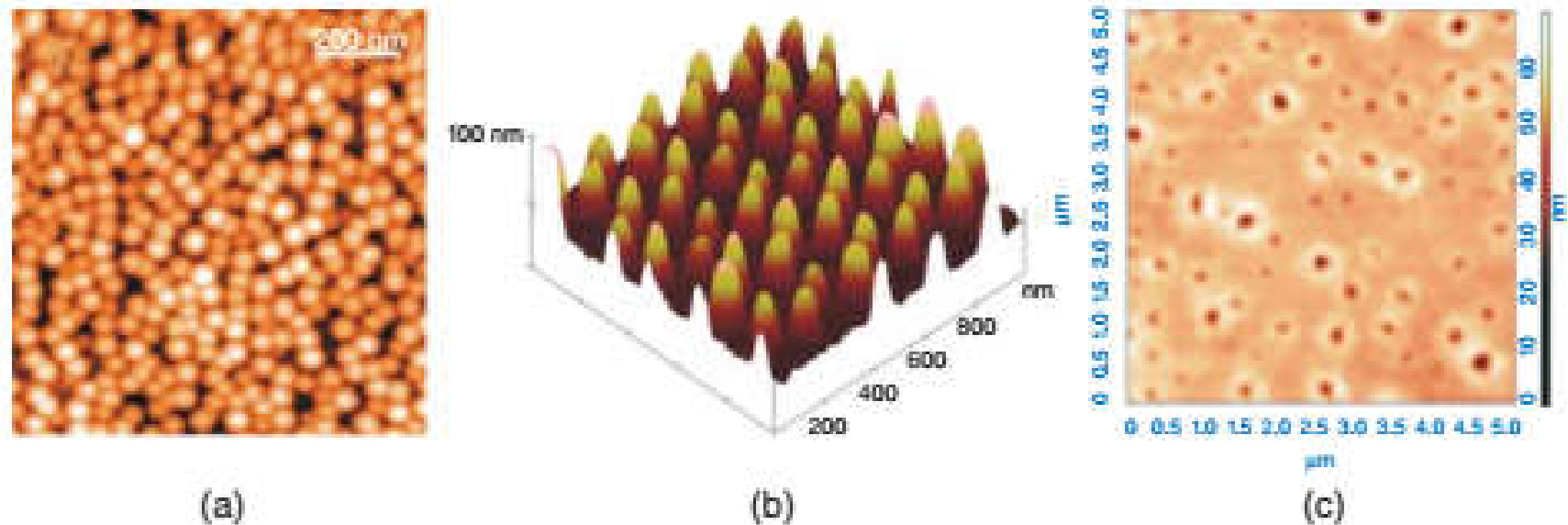
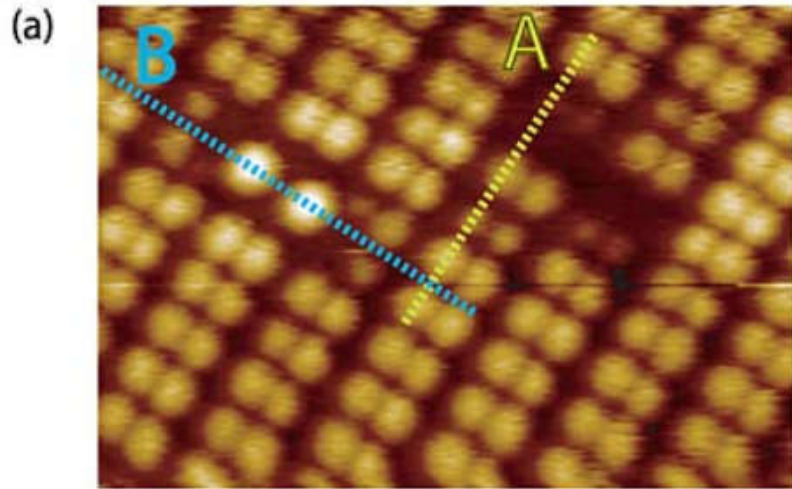


Figure 3.17 AFM images showing (a) InAs/GaAs QDs grown on a Ge/Si substrate. Chen et al. [21a], © 2015. With permission of licensee MDPI, Basel, Switzerland; (b) Pt nanoparticles coated with Si nanopillars. Li et al. [21b], © 2015. With permission of NPG; (c) cholesterol-B, SA conjugate. Gehlot et al. [22], © 2013. With permission of NISCAIR, CSIR, New Delhi. (*See color plate section for the color representation of this figure.*)

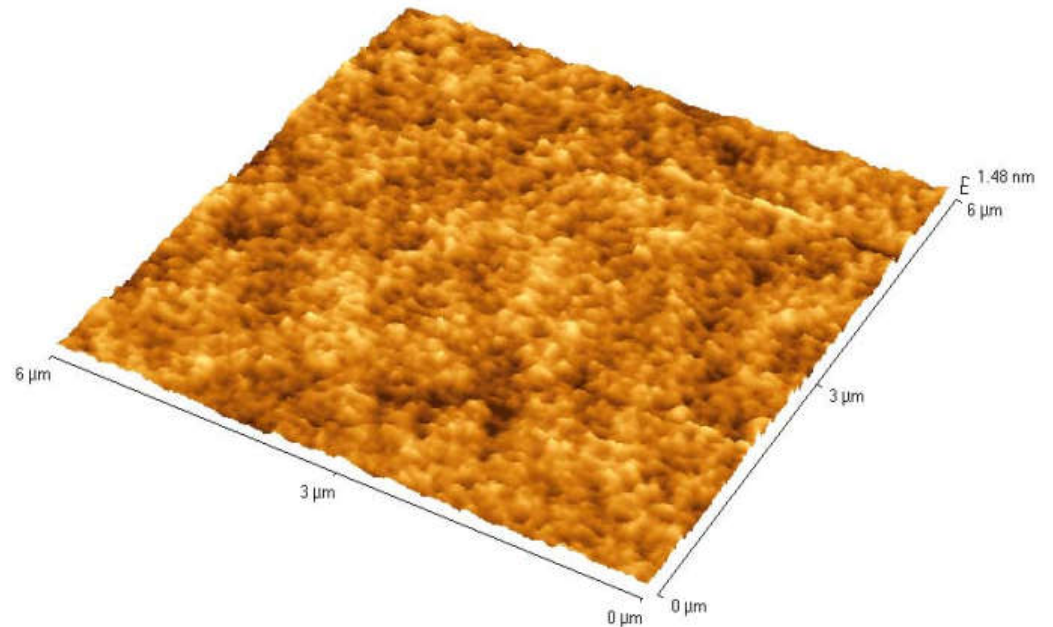
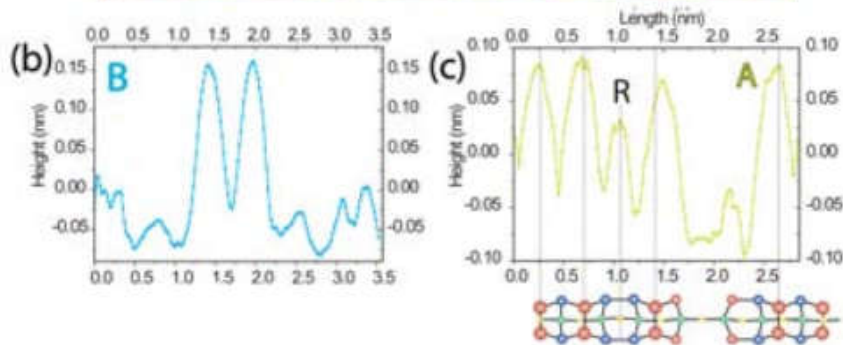
Atomik Kuvvet Mikroskobu (AFM)



Si(100) surface taken
at 77 K.

Scanned with non-
contact mode.

Clean glass surface: roughness ~ 0.8 nm



Spektroskopi Teknikleri

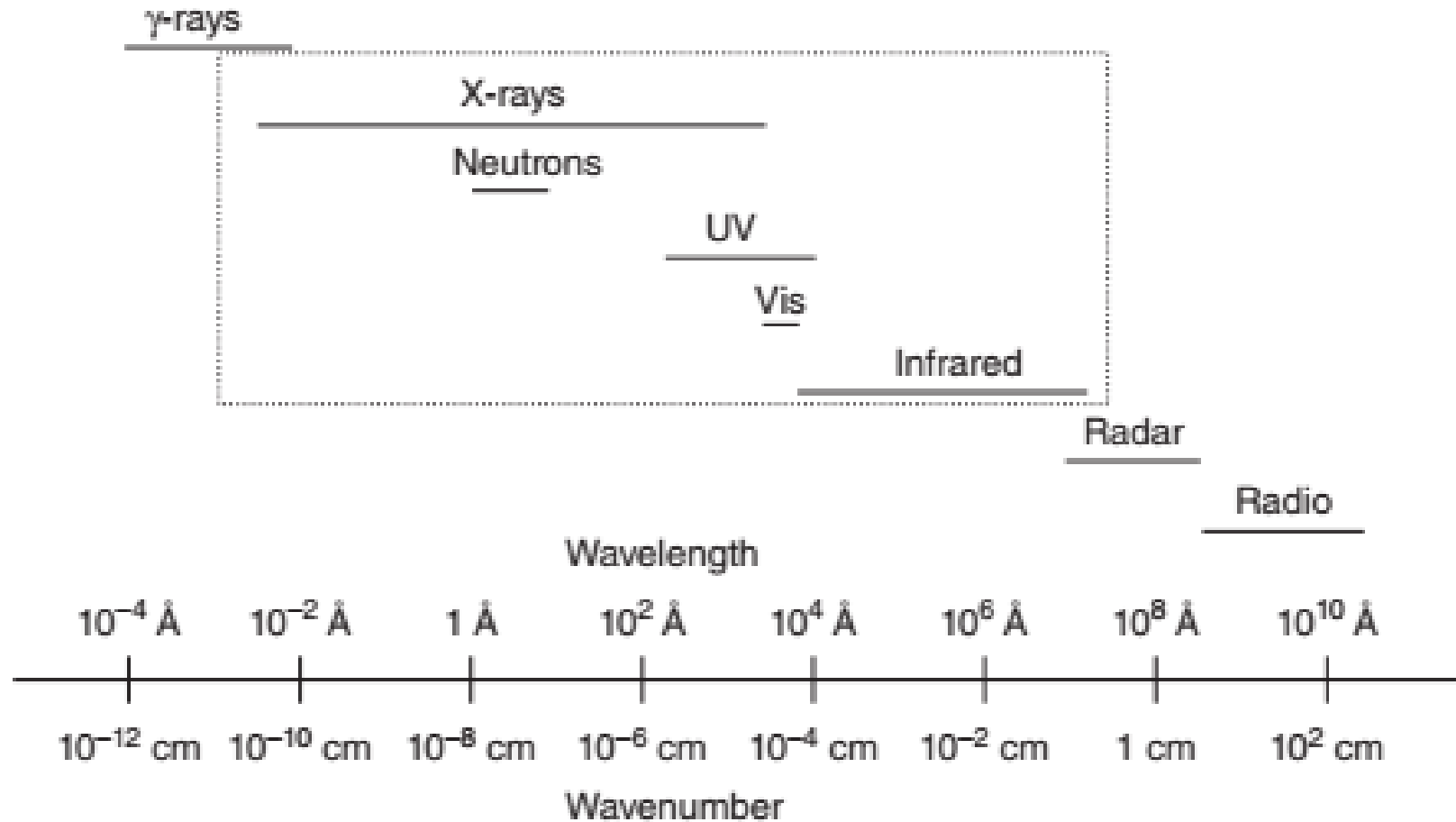


Figure 3.19 Spectrum of various electromagnetic radiations.

Saçılım Teknikleri

TABLE 3.7 Radiations Used in Scattering-Based Characterization Techniques

Scattering Techniques	Type of Radiation (Wavelength, λ)	Sample Thickness	Limitations
SAXS, WAXS	X-rays (0.1–5 Å)	<1 mm	Absorption
SANS, WANS	Neutrons (1–15 Å)	1–2 mm	Low fluxes
LEED	Electrons (0.1 Å)	100 μ m	Low penetration
SLS, DLS	Laser light (1 μ m)	1–5 mm	Scattering from dust

SAXS: Düşük açılı X-ışını saçılımı, WAXS: Geniş açılı X-ışını saçılımı
SANS: Düşük açılı nötron saçılımı, LEED: Düşük enerji elektron kırınımı, DLS: Dinamik ışık saçılımı